

Министерство высшего и среднего специального образования
РСФСР

Ордена Трудового Красного Знамени
Научно-исследовательский радиопизический институт (НИРФИ)

Препринт № 95

ОБ ИЗЛУЧЕНИИ СЕЙСМИЧЕСКОГО ВИБРАТОРА
ТИПА ВРАЩАЮЩЕЙСЯ НЕСБАЛАНСИРОВАННОЙ МАССЫ

В.В. Гушин,

Ю.М. Заславский,

И.Д. Конюхова

Горький - 1976 г.

Развитие сейсмологии, в частности, активных методов вибрационного просвечивания земли, поставило задачу разработки сейсмических вибраторов различного типа. Используемые в промышленности и разрабатываемые сейсмические вибраторы различаются как по принципу действия (с реактивной массой, пресс, пульсирующая полость), так и по принципу преобразования энергии (механические, электромагнитные, электродинамические, гидравлические, реактивные). При разработке сейсмического вибратора важной проблемой является согласование вибратора с грунтом, условия оптимального излучения вибратора в грунт [1], [2].

При расчете вибраторов, работающих на поверхности земли и использующих для просвечивания объемные упругие волны, излучаемые вглубь земли, обычно не учитываются возбуждаемые ими поверхностные или рэлеевские волны. Однако, в некоторых режимах работы вибратора поверхностные волны могут достигать значительной интенсивности, превышающей интенсивность объемной волны. Учет поверхностного излучения вибратора существенно меняет условия согласования вибратора с грунтом. Кроме того, в некоторых задачах сейсмологии поверхностное излучение является не побочным эффектом, а основным излучением, необходимым для просвечивания поверхностных слоев.

Учет поверхностного излучения вибратора встречает некоторые трудности, поскольку задача об излучении поверхностной волны решена только для точечного источ-

ника гармонической силы [3] и для двумерного случая бесконечно вытянутого лентообразного излучателя [4].

В настоящей работе решена задача определения поля поверхностной волны, возбуждаемой гармонической вертикальной силой равномерно распределенной по площади в форме круга на границе твердой среды с воздухом, получено выражение для сопротивления излучения такого источника и проведен расчет сейсмического вибратора типа вращающейся несбалансированной массы^{*)}. Следует отметить, что результаты такого расчета могут быть использованы при исследовании колебаний различных станков и механизмов с вращающимися дисками, валами и т.п. и передачи этих колебаний на соседние конструкции и механизмы.

Вибратор состоит из вращающегося диска (массы M) с неуравновешанной массой m , расположенной на расстоянии d от оси вращения.

При вращении диска с частотой ω на опоры действует сила $F = m\omega^2 d$. Амплитуда скорости колебаний опор определяется соотношением: [5]:

$$v = \frac{m\omega^2 d}{\sqrt{(\omega(M+m) - \frac{c}{\omega})^2 + R^2}}, \quad (1)$$

где c — жесткость крепления опор, R — активное сопротивление, определяемое добротностью механической системы.

Эквивалентная электрическая схема [3], отвечающая уравнению (1), имеет вид, представляемый на рис. 1. Здесь действующая сила эквивалентна генератору напряжения с э.д.с. равной $\omega^2 m d$, влияние массы учитывается введением индуктивного сопротивления $\omega(M+m)$, жесткость обеспечивает емкостное сопротивление схемы величиной c/ω (эквивалентная емкость обратно про-

*) Вибраторы такого типа применяются в сейсмологии с конца 50-х годов для глубокого просвечивания Земли. [2] (стр. 41).

вертикальная жесткости).

Если вибратор стоит на поверхности земли, то необходимо учесть энергию, идущую на излучение, и включить в схему сопротивление излучения. Поскольку вибратор не закреплен, то жесткостью "С" можно пренебречь. Собственным сопротивлением в системе R также пренебрегаем, считая, что оно существенно меньше сопротивления излучения. Сила F имеет две составляющие (амплитудой $\omega^2 m d$), смещенные по фазе на $\pi/2$, одна из них перпендикулярна поверхности земли, другая направлена вдоль поверхности, перпендикулярно оси вращения. Считаем, что горизонтальная составляющая приводит к свободному скольжению вибратора по поверхности и не дает излучения. Вертикальная составляющая силы вызывает рэлеевскую волну вдоль поверхности земли и продольную волну вглубь земли (в первом приближении).

Тогда эквивалентная электрическая схема вибратора имеет вид, изображенный на рис. 2, где обозначено: R_R - активная составляющая сопротивления излучения поверхностной волны, X_R - реактивная составляющая сопротивления излучения поверхностной волны. R_e и X_e - активная и реактивная составляющие сопротивления излучения продольной волны.

Для получения выражений сопротивления излучения поверхностной волны решим задачу определения поля рэлеевской волны, возбуждаемой синусоидальной силой, равномерно-распределенной по площадке S , расположенной на поверхности земли. В [3] решена задача определения поля рэлеевской волны для точечного гармонического источника силы. При решении задачи для распределенной силы ограничимся случаем, когда площадка имеет форму круга радиуса a . В этом случае цилиндрические функции являются собственными функциями волнового уравнения, и решение может быть записано в виде [3]:

$$z_R = \frac{\rho}{2\pi\mu} \int_{-\infty}^{\infty} \frac{k_t^2 \nu k}{\mathcal{F}(k)} H_0^{(1)}(kr) \psi(k) dk, \quad (2)$$

$$\mathcal{F}(k) = (2k^2 - k_t^2)^2 - 4k^2 \nu \nu',$$

где ξ_R - смещение в поверхностной волне на расстоянии r от источника, μ - модуль сдвига твердой среды, $k_t = \omega/c_t$ - волновое число сдвиговой волны $\nu = \sqrt{k^2 - k_e^2}$, $\nu' = \sqrt{k^2 - k_t^2}$, $k_z = k_e$ - волновое число ралеевской, продольной волн, $k_p = \omega/c_p$, $k_e = \omega/c_e$, c_t, c_R, c_e - скорости распространения сдвиговой, ралеевской и продольной волн, причем полная сила, равномерно распределенная по площади S , меняется по закону $P = P_0 e^{i\omega t}$.

$H_0^{(1)}(kr)$ - функция Ханкеля нулевого порядка

$$H_0^{(1)}(kr) = J_0(kr) + iN_0(kr)$$

$J_0(kr), N_0(kr)$ - функции Бесселя и Неймана нулевого порядка.

$\psi(k)$ - пространственный спектр напряжения по Фурье-Бесселю.

Для силы, равномерно распределенной по площади πa^2 напряжение определяется функцией

$$S(r) = \begin{cases} \frac{P}{\pi a^2}, & r < a \\ 0, & r > a \end{cases}$$

Спектр напряжения определяется соотношением

$$\psi(k) = \frac{1}{\pi a^2} \int_0^a r J_0(kr) dr = \frac{1}{\pi a k} J_1(ka), \quad (8)$$

где $J_1(ka)$ - функция Бесселя первого порядка.

При подстановке (8) в (2), получаем

$$\xi_R = \frac{P}{2\pi^2 \mu a} \int_{-\infty}^{\infty} \frac{k_t^2 \nu}{\mathcal{F}(k)} J_1(ka) [J_0(kr) + iN_0(kr)] dk. \quad (4)$$

Корень уравнения $\mathcal{F}(k) = 0$ равный k_R соответствует ралеевской волне.

Вычисляя интеграл (4) методами теории вычетов 7, получаем:

$$\xi_R = \frac{\rho}{\pi \mu a} \frac{k_z^2 \nu J_1(k_R a)}{F'(k_R)} [N_0(k_R r) - i J_0(k_R r)]. \quad (5)$$

Для определения сопротивления излучения нужно знать поле рэлеевской волны непосредственно под поверхностью:

§ . Однако, в точке $r = 0$ функция $N_0(kr)$ имеет особенность, и выражение (5) справедливо только для области $r > a$. Представим смещение при $r < a$ в виде $(A + iB)J_0(kr)$, где A и B постоянные коэффициенты, определяемые из условия равенства смещений на границе $r = a$. При $r = a$ выполняется соотношение:

$$(A + iB)J_0(ka) = \frac{\rho}{\pi \mu a} \frac{k_z^2 \nu J_1(k_R a)}{F'(k_R)} [N_0(k_R a) - i J_0(k_R a)]. \quad (6)$$

Отсюда для A и B получаем выражения

$$A = \frac{\rho k_z^2 \nu J_1(k_R a) \cdot N_0(k_R a)}{\pi \mu a F'(k_R) \cdot J_0(k_R a)} \quad (7)$$

$$B = \frac{\rho k_z^2 \nu J_1(k_R a)}{\pi \mu a F'(k_R)}. \quad (8)$$

Скорость смещения частиц поверхности при $r < a$ определяется соотношением

$$v = i\omega (A + iB)J_0(k_R r). \quad (9)$$

В качестве точки приведения [6] выбираем точку $r = 0$. Скорость точки приведения определяется выражением

$$v_0 = i\omega(A + iB). \quad (10)$$

Распределение амплитуды скорости по поверхности

$$D_n = \frac{v}{v_0} = J_0(k_R r). \quad (11)$$

Реакция звукового поля на излучающую поверхность вычисляется на основании соотношения

$$R = - \int_S \sigma_n D_n dS, \quad (12)$$

где σ_n — давление на поверхности

$$\sigma_n = \frac{\rho}{3Q^2}, \quad dS = 2\pi r dr.$$

При этом

$$R = - \frac{2\rho}{a^2} \int_0^a r J_0(k_R r) dr = - \frac{2\rho}{a k_R} J_1(k_R a). \quad (13)$$

Сопротивление излучения определяется соотношением

$$Z_R = \frac{R}{v_0}. \quad (14)$$

С учетом (13) и (10) получаем

$$Z_R = - \frac{2\rho J_1(k_R a)}{i\omega a k_R (A + iB)}. \quad (15)$$

Из (15) для активной и реактивной составляющих сопротивления излучения получаем

$$R_R = \frac{2\rho J_1(k_R a) B}{\omega k_R a (A^2 + B^2)} \quad (16)$$

$$X_R = \frac{2\rho J_1(k_R a) A}{\omega k_R a (A^2 + B^2)} \quad (17)$$

Подставляя (7) и (8) в (16) и (17), получаем

$$R_R = - \frac{2\pi\mu \mathcal{F}'(k_R) J_0^2(k_R a)}{k_R k_t^2 \nu \omega [J_0^2(k_R a) + N_0^2(k_R a)]} \quad (18)$$

$$X_R = \frac{2\pi\mu \mathcal{F}'(k_R) N_0(k_R a) J_0(k_R a)}{k_R k_t^2 \nu \omega [J_0^2(k_R a) + N_0^2(k_R a)]} \quad (19)$$

$$\mathcal{F}'(k_R) \cong k_t^3 \left\{ \frac{2 \frac{C_R}{C_t} \left[4 \left(\frac{C_t}{C_R} \right)^4 - 1 \right] - 16 \left[2 \left(\frac{C_t}{C_R} \right)^2 - \left(\frac{C_t}{C_R} \right)^2 \right]}{\left(\frac{C_R}{C_t} \right)^5 \left[2 \left(\frac{C_t}{C_R} \right) - 1 \right]^2} \right\} \quad (20)$$

Для идеальной среды при $\lambda = \mu$, (где λ - модуль сжатия), т.е. $C_e/C_t = \sqrt{3}$ коэффициент $\mathcal{F}'(k)$ получается равным $-3,5 k_t^3$. Средой, близкой к идеальной, является металл. В более мягких по сравнению с металлом средах, модуль сдвига μ меньше модуля сжатия λ . В пределе для жидкой и газообразной сред можно считать модуль сдвига равным нулю. Для грунта получаем $\lambda = \xi \mu$, где $\xi > 1$.

Используя экспериментально определенные C_R и C_e для песчаного грунта $C_e = 2000$ м/сек, $C_R = 300$ м/сек, получаем $\xi = 38$, при этом $\mathcal{F}'(k_R) = -9,5 k_t^3$. Можно представить функцию $\mathcal{F}'(k_R)$ в виде

$$\mathcal{F}'(k_R) = -D(\xi) k_t^3, \quad (21)$$

где $D(\xi)$ - постоянный множитель, определяемый свойствами грунта, а именно. отношением модулей упругости $\lambda/\mu = \xi$.

Подставляя (21) в (18) и (19) и учитывая, что $\mu = \rho c_t^2$, получаем

$$R_R = \frac{2D(\xi)\rho c_R S}{\frac{c_R}{c_t} \sqrt{1 - \left(\frac{c_R}{c_e}\right)^2}} \cdot \frac{J_0^2(k_R a)}{(k_R a)^2 [J_0^2(k_R a) + N_0^2(k_R a)]} \quad (22)$$

$$X_R = - \frac{2D(\xi)\rho c_R S}{\frac{c_R}{c_t} \sqrt{1 - \left(\frac{c_R}{c_e}\right)^2}} \cdot \frac{N_0(k_R a) J_0(k_R a)}{(k_R a)^2 [J_0^2(k_R a) + N_0^2(k_R a)]} \quad (23)$$

или

$$R_R = C(\xi)\rho c_R S \frac{J_0^2(k_R a)}{(k_R a)^2 [J_0^2(k_R a) + N_0^2(k_R a)]} \quad (24)$$

$$X_R = - C(\xi)\rho c_R S \frac{N_0(k_R a) J_0(k_R a)}{(k_R a)^2 [J_0^2(k_R a) + N_0^2(k_R a)]} \quad (25)$$

где $C(\xi)$ — постоянная, определяемая соотношением констант упругости $C(\xi) = 2D(\xi) / \frac{c_R}{c_t} \sqrt{1 - \left(\frac{c_R}{c_e}\right)^2}$.

S — площадь поверхности излучателя, ρc_R — акустическое сопротивление среды. Сомножители вида

$$J_0^2(k_R a) / (k_R a)^2 [J_0^2 + N_0^2] \quad \text{и} \quad J_0(k_R a) N_0(k_R a) / (k_R a)^2 [J_0^2 + N_0^2]$$

в (24), (25) зависят только от произведения $k_R a$, то есть от отношения размеров излучателя к длине волны и определяют частотную характеристику излучателя. На рис. 3 приведены частотные характеристики активной и реактивной составляющих сопротивления излучения релеевской волны, т.е. величин

$$\frac{R_R}{\rho c_R S} = \frac{C(\xi) J_0^2(k_R a)}{(k_R a)^2 [J_0^2(k_R a) + N_0^2(k_R a)]}$$

и

$$\frac{X_R}{\rho c_e S} = \frac{C(\xi) N_0(k_R a) J_0(k_R a)}{(k_R a)^2 [J_0^2(k_R a) + N_0^2(k_R a)]}$$

в зависимости от произведения $k_R a$.

Из рис. 3 видно, что реактивная составляющая сопротивления излучения носит индуктивный характер почти на всем диапазоне частот, за исключением небольших участков.

На рис. 3 приведена также зависимость множителя $J_0^2(k_R a) / [J_0^2(k_R a) + N_0^2(k_R a)]$ от $k_R a$ (кривая 3), которая характеризует изменение активного сопротивления излучения при изменении размеров излучателя на постоянной частоте.

Максимум сопротивления излучения получается при $a = \lambda / \pi$. Для приближенного расчета сопротивления излучения продольных волн, распространяющихся вглубь земли, воспользуемся выражением для сопротивления излучения в грунт осциллирующей сферы, полученным в работе [2]:

$$\mathcal{Z}_e = \frac{1}{3} \rho c_e S \frac{(1 + i k_e a)(3\gamma^2 + 3i\gamma k_e a - k_e^2 a^2)}{i k_e a [-k_e^2 a^2 + (2 + \gamma) i k_e a + 2 + \gamma^2]}, \quad (26)$$

где $\gamma = C_t / C_e$.

Учитывая, что осциллирующей сферы эффективная площадь излучения равна 1/3 площади всего излучателя, будем считать, что выражение $3 \mathcal{Z}_e$ приближенно описывает сопротивление излучения продольных волн для площадки в бесконечном пространстве. Учет влияния границы приводит к множителю 1/2 в выражении (26).

При $C_t = 314$ м/сек и $C_e = 2000$ м/сек, $\gamma = 0,157$, и для активной и реактивной составляющих из (26) получаются выражения:

$$R_e = \frac{\rho c_e S}{2} \frac{k_e^4 a^4 + 0,62 k_e^2 a^2 + 0,93}{k_e^4 a^4 + 0,6 k_e^2 a^2 + 4,15} \quad (27)$$

$$X_e = \frac{\rho c_e S}{2} \frac{0,69 k_e^4 a^4 + 1,88 k_e^2 a^2 - 0,14}{k_e a (k_e^4 a^4 + 0,6 k_e^2 a^2 + 4,15)} \quad (28)$$

На рис. 4 приведены зависимости $2Re/\rho c_e S$ и $2X_e/\rho c_e S$ от $k_e a$.

Из рис. 4 видно, что реактивное сопротивление излучения носит емкостной характер при малых $k_e a$ ($k_e a < 0,5$), и индуктивный при $k_e a > 0,5$. Из сравнения рис. 3 и рис. 4 видно, что при малых $k_R a$ и $k_e a$, т.е. для излучателей малых размеров, активное сопротивление излучения рэлеевской волны значительно превышает активное сопротивление излучения продольной волны, т.е. большая часть излучаемой энергии уходит в поверхностную волну. Из эквивалентной схемы (рис. 2) очевидно, что отношение мощностей излучения различных типов пропорционально отношению активных составляющих их сопротивлений излучения. Таким образом, частотные зависимости сопротивлений излучения (рис. 3 и 4) могут быть использованы при разработке сейсмоизлучателя для выбора размеров излучателя или частоты излучения на основании требований к соотношению мощностей излучения различных волн. При конкретном расчете отношения мощностей следует учесть значения числовых коэффициентов $C(\xi)$ для рэлеевской волны и $1/2$ для продольной волны. Для $\xi = 38$ коэффициент $C(\xi)$ получается равным ~ 20 .

Зная сопротивления излучения продольных и поверхностных волн можно рассчитать скорость смещения точек грунта непосредственно под излучателем по формуле:

$$v = \frac{\omega^2 m d}{\sqrt{(R_R + R_e)^2 + (\omega M + X_R + X_e)^2}} \quad (29)$$

Зависимость $v(\omega)$ представляет собой частотную характеристику излучателя.

На рис. 5 представлена частотная характеристика

сейсмовибратора, для следующих значений параметров:
 $m = 65$ г, $d = 3$ см, $M = 2 \cdot 10^4$ г, $a = 12$ см
 (a — эффективный радиус площади излучения, реальный
 вибратор имеет прямоугольную площадку $b = 30$ см
 $\times 15$ см, $a = \sqrt{b/\pi}$), $\rho = 2$ г/см³, $c_e =$
 $= 2000$ м/сек, $c_R = 300$ м/сек. По оси абсцисс отло-
 жены значения частоты $f = \omega/2\pi$ в герцах, по оси
 ординат амплитуда скорости в см/сек. Отношение актив-
 ных сопротивлений излучения релеевской волны и продоль-
 ной для данного вибратора в исследуемом диапазоне час-
 тот (R_R / R_e) изменяется от величины $2,3 \cdot 10^3$
 для частоты 20 гц до величины $2,3 \cdot 10^2$ для частоты 100
 гц. Таким образом, очевидно, что в данном случае энер-
 гия, идущая в поверхностное излучение, на 2-3 порядка
 больше энергии излучения вглубь земли.

Исследуемый диапазон частот соответствует рабо-
 чему диапазону частоты вращения ротора реального сей-
 смовибратора. Крестиками на рис. 5 представлены ре-
 зультаты экспериментальных измерений скорости колеба-
 ний точек грунта, зарегистрированных сейсмоприемником
 типа СПЭН-1, установленным на расстоянии 10 м от
 сейсмовибратора. Экспериментальные результаты, несмот-
 ря на их малочисленность, явно свидетельствуют о ре-
 зонансном характере частотной характеристики излучате-
 ля, имеющей максимум на частоте 60-70 гц. Это отли-
 чие от расчетной характеристики, по-видимому, объясня-
 ется условиями контакта сейсмовибратора с грунтом. При
 расчете частотной характеристики вибратора контакт из-
 лучающей поверхности с грунтом считается идеальным и
 при этом жесткость крепления вибратора считается рав-
 ной нулю. Это идеализированные условия. В реальных ус-
 ловиях, если вибратор просто стоит на земле, контакт с
 грунтом получается неполным, и форма колебаний искажа-
 ется. Для получения колебаний синусоидальной формы
 вибратор приходится закапывать в грунт вблизи поверх-
 ности и прижимать грузом.

Учесть это в теоретическом расчете можно введе-
 нием эквивалентной жесткости крепления вибратора. Од-

нако, величину эквивалентной жесткости можно получить только на основании экспериментальных данных. В дальнейшем предполагается провести широкие экспериментальные исследования условий контакта вибратора с грунтом при различных формах закрепления вибратора и различных типах грунта.

ЛИТЕРАТУРА

1. И.С.Чичиня.

Исследование механизма формирования продольных и поперечных сейсмических волн источником, заданным в виде осциллирующего шара. Измерительная аппаратура для разведочной геофизики, АН СССР СО, Ин-т автоматики и электрометрии. Новосибирск, 1973.

2. А.В.Николаев, Е.В.Артюшков, И.С.Чичиня, П.А.Трошклай, И.Н.Галкин.

Вибрационное просвечивание земли. Ин-т физики земли АН СССР, 1974.

3. Ewing M.W., Jardetzky W.S., Press F. Elastic waves in layered media, McGraw-Hill.N.-Y.1957.

4. И.А.Викторов.

Физические основы применения ультразвуковых волн Рэлея и Лэмба в технике. "Наука", И., 1966 г..

5. Ф.М.Диментберг.

Изгибные колебания вращающихся валов. Из-во АН СССР, М., 1959.

6. С.В.Фурдуев.

Электроакустика. ОГИЗ 1948. Москва-Ленинград.

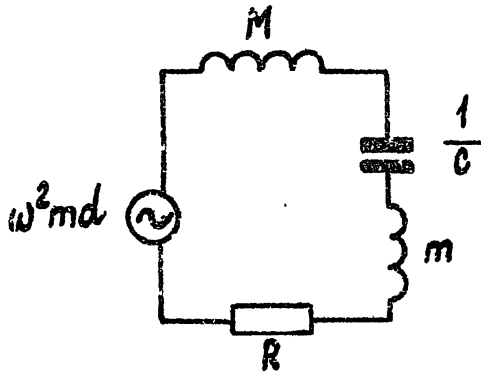


FIG. 1

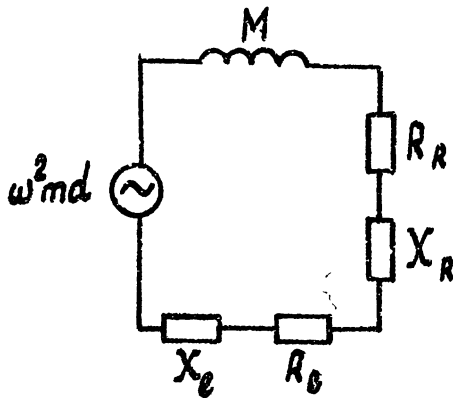


FIG. 2.

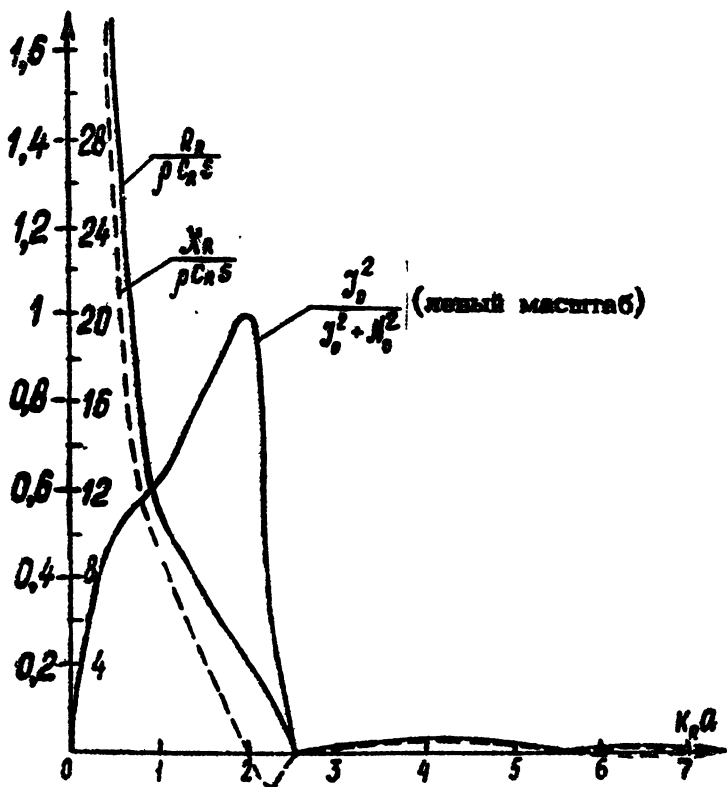


Рис. 3

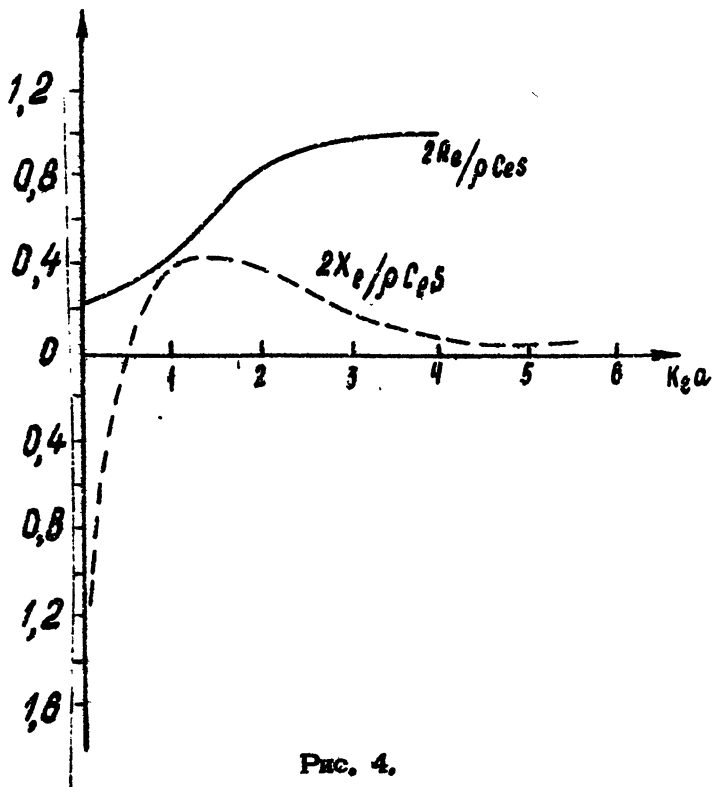


Рис. 4.

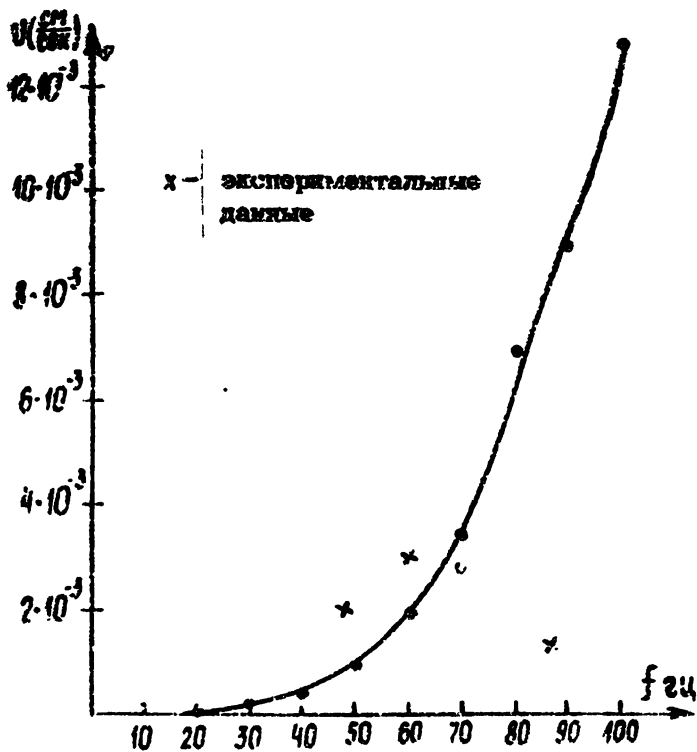


Рис. 5.